

# Analiza širenja pukotine u strojarskim konstrukcijama

**Budimir MIJOVIĆ<sup>1)</sup>, Ismet PAŠALIĆ<sup>2)</sup> i  
Ante AGIĆ<sup>3)</sup>**

- 1) Tekstilno-tehnološki fakultet Sveučilišta u Zagrebu, (Faculty of Textile Technology, University of Zagreb), Baruna Filipovića 30, HR - 10000 Zagreb, **Republic of Croatia**
- 2) Privredna komora USK, (Chamber of economy of USK) 501. slavne brigade b.b., 37000 Bihać, **Bosnia and Herzegovina**
- 3) Fakultet kemijskog inženjerstva i tehnologije Sveučilišta u Zagrebu (Faculty of Chemical Engineering and Technology, University of Zagreb), Marulićev trg 20, HR - 10000 Zagreb, **Republic of Croatia**

budimir.mijovic@tf.fh.hr

## Ključne riječi

Cikličko opterećenje  
Duktalnost  
Koefficijent intezivnosti naprezanja  
Mehanika loma

## Keywords

Cyclic loading  
Ductility  
Fracture mechanics  
Stress intensity factor

Received (primljeno): 2008-03-15

Accepted (prihvaćeno): 2008-12-19

## Prethodno priopćenje

U radu je izvršena eksperimentalna analiza širenja pukotine kod čelika DIN 42CrMo4V. Ovaj materijal u poboljšanom stanju ima visoku čvrstoću i žilavost. Koristi se za statički i dinamički opterećene konstrukcijske dijelove, posebno za veće presjeke s visokim opterećenjem. Cilj rada je pronaći mogućnost što točnijeg i preciznijeg eksperimentalnog određivanja karakteristika pukotine kod trodimenzionalnih problema mehanike loma. Izradene su epruvete sa zarezom s iniciranom greškom tipa pukotine u cilju određivanja udarnih svojstava i parametara mehanike loma. Ova ispitivanja omogućuju uspostavljanje ovisnosti geometrije pokretne pukotine i uvjeta naprezanja za njeno daljnje širenje. Time je moguće odrediti iznose parametara koji opisuju ponašanje materijala, kako u linearno-elastičnoj tako i u elasto-plastičnoj mehanici loma.

## Analysis of Crack Extension in Mechanical Constructions

### Preliminary note

The paper investigates an experimental analysis of crack extension in steel DIN 42CrMo4V. This improved material has a high strength and toughness. It is used for statically and dynamically stressed components, in particular for larger cross-sections under high stress. The aim of the paper is to find possibility for more accurate and precise experimental determination of crack characteristics in three-dimensional problems of fracture mechanics. Notched test specimens with an initiated defect as a crack were made to determine impact properties and parameters of fracture mechanics. These investigations allow establishing the dependence of geometry of the movable crack and conditions of stress for its further extension. Therefore, it is possible to determine the characteristic quantity describing material behaviour, both in linearly elastic and in elasto-plastic fracture mechanics.

## 1. Uvod

Lom zbog cikličnog opterećenja najučestaliji je oblik loma u praksi. Takvi se lomovi mogu dogoditi i kod vrijednosti naprezanja koje su manje od granice tečenja i kod duktilnih materijala niske čvrstoće [1, 2, 3]. Veliki broj lomova konstrukcija, do kojih dolazi tijekom eksploatacije pri nivou naprezanja nižem od dopuštenog, ukazuje na opasnost od pojave krhkog loma [4, 5]. Zbog toga je pri projektiranju konstrukcija neophodno definirati kriterije na temelju kojih se može postići sigurnost konstrukcije od krhkog loma. Za ocjenu ponašanja visokočvrstih čelika u dinamičkim uvjetima, pored utjecaja promjenjivog opterećenja na iniciranje pukotine

pri koncentraciji naprezanja tipa V-zareza, mjerodavni su i parametri mehanike loma koji prepostavljaju prisutnost greške tipa pukotine, a to je, prije svega, brzina rasta zamorne pukotine,  $da/dN$ , i prag zamora  $\Delta K_{th}$  [6, 7, 8]. Mehanička svojstva materijala su od velike važnosti za određivanje posljedica krhkog loma u strojarskim konstrukcijama. Kako se čelik DIN 42CrMo4V koristi za izradu pouzdanih konstrukcija, važno je analizirati utjecaj greške tipa pukotine na njegovo ponašanje pri djelovanju dinamičkog opterećenja [9, 10, 11]. Razvoj u proučavanju ponašanja materijala pri djelovanju promjenjivog opterećenja, omogućen je paralelnim uvođenjem eksperimentalnog i teorijskog pristupa.

### Oznake/Symbols

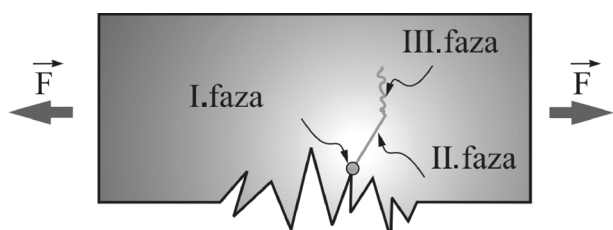
$K$	- koeficijent intenzivnosti naprezanja - stress-intensity factor	$\Delta K_{th}$	- prag zamora - fatigue threshold
$\sigma_N$	- nominalno naprezanje - nominal stress	$da/dN$	- brzina rasta pukotine - crack propagation
$a_c$	- kritična duljina pukotine - critical crack length	Cr, Mo	- krom, molibden - crom, molybden
$K_Ic, K_{IIC}, K_{IIIC}$	- kritične vrijednosti koeficijenata intenzivnosti naprezanja - critical values of stress intensity factors	DIN 42CrMo4V	- oznaka čelika odabranog za eksperiment - steel type chosen for experiment
$W$	- širina ploče - plate width	$a$	- duljina pukotine - crack length
$\delta$	- debljina ploče - plate thickness	$K_I$	- stvarni koeficijent intenzivnosti naprezanja - real stress intensity factor
$\sigma_{max}$	- maksimalno naprezanje - stress maximum	$B$	- širina epruvete - specimen width
$\rho$	- polujer zaobljenja - radius of curvature	$\sigma_D$	- dinamička čvrstoća - dynamic strength
$\Delta K$	- dinamički koeficijent intenzivnosti naprezanja - dynamic stress intensity factor	$\sigma_m$	- srednje naprezanje - mean stress
$\Delta\sigma$	- područje promjene naprezanja - stress variability range	$\sigma_a$	- amplituda naprezanja - stress amplitude
$R$	- faktor asimetrije ciklusa - cycle asymetry factor	$\Xi$	- osjetljivost pukotine - crack sensitivity
		$E_T$	- energija udara - impact energy

## 2. Teorijski dio

Kod analize napregnutog stanja u blizini pukotine najčešće se polazi od pretpostavke linearne teorije elastičnosti, gdje se uključuje i efekt plastifikacije pri vršku pukotine [12, 13, 14]. Ovaj pristup pretpostavlja da promatrani element ili tijelo ima samo jednu pukotinu s jednom plastičnom zonom pri vršku pukotine. Uzima se uvijek da krhki lom nastaje kao posljedica velike brzine opterećenja, tako da je otežana plastična deformacija [15, 16]. Pri proračunu čvrstoće konstrukcije potrebno je voditi računa o unutarnjim sitnim šupljinama, pukotinama koje su prisutne u svakom realnom materijalu, proizvedenom uobičajenim tehničkim postupcima. Kada se radi o duktilnom materijalu u zoni oštре pukotine uslijed vanjskog opterećenja, doći će do plastičnog tečenja [17]. Kod ciklički opterećenih elemenata pukotine se počinju formirati na slobodnoj površini, slika 1.

Razlikuju se dvije faze stabilnog širenja pukotine. U prvoj fazi neposredno nakon nukleacije dolazi do širenja u smjeru primarnih površina klizanja. Promjena smjera širenja pukotine nastaje kad duljina pukotine dovoljno

naraste da prevlada kidanje okomito na smjer glavnog vlačnog naprezanja, što ujedno predstavlja završetak prve, a početak druge faze. Druga faza stabilnog širenja može se vizualno utvrditi po karakterističnom izgledu površine loma. Izgled površine može se dovesti u vezu s načinima širenja pukotine po presjeku [18].



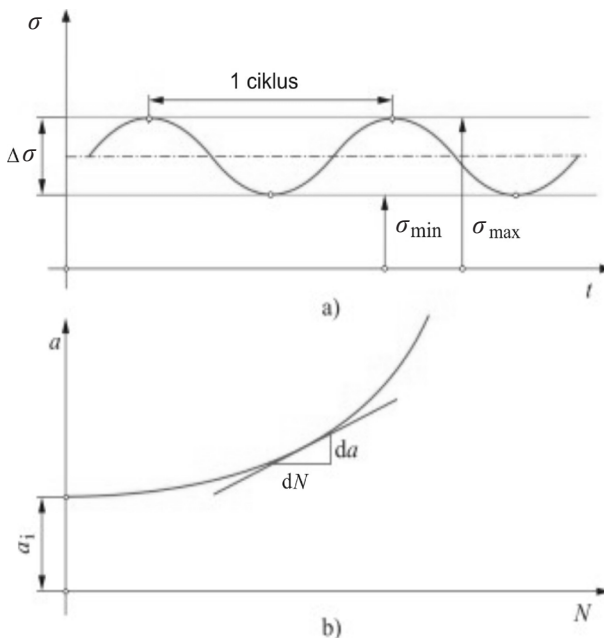
Slika 1. Pojava pukotine kod vlaka i tlaka

Figure 1. Occurrence of a crack in tension and compression

Kod materijala sklonih krhkemu lomu, početak nestabilnog širenja pukotine nastupit će onda kada duljina pukotine dosegne kritičnu vrijednost  $2a_c$  pri nazivnom naprezanju  $\sigma_N$ . Kod izrazito duktilnih materijala, druga faza stabilnog širenja pukotine će se

protegnuti sve dok ostatak presjeka objekta, koji na sebe preuzima cijelokupno opterećenje, ne bude više u stanju nositi vanjsko opterećenje. Poznavanje parametara koji određuju brzinu širenja pukotine u predkritičkoj fazi od velike je važnosti za procjenu vijeka trajanja ciklički opterećenog objekta, odnosno za utvrđivanje intervala kontrolnih pregleda.

Mnogobrojnim pokusima utvrđeno je da i brzina širenja ciklički opterećene pukotine ovisi o koeficijentu intenzivnosti naprezanja, koji se, međutim, razlikuju od statičkog  $K_I$ ,  $K_{II}$ ,  $K_{III}$ . Snimanjem krivulje  $a = a(N)$ , dobiva se mogućnost da se iz tangente na tu krivulju zaključi o brzini širenja pukotine  $da/dN$ , tj. na prirast duljine pukotine po jednom ciklusu opterećenja, slika 2.



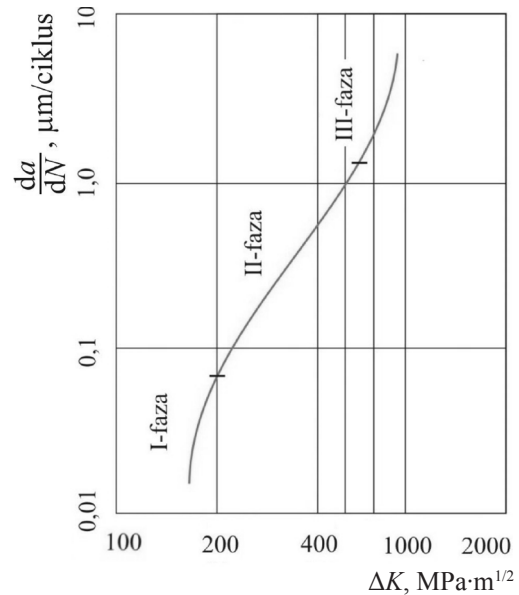
Slika 2. Karakteristika cikličkog opterećenja: a) ciklično opterećenje; b) vezu između duljine pukotine  $a$  i broja ciklusa  $N$

Figure 2. Characteristic of cyclic loading: a) cyclic stress (loading); b) correlation between crack length  $a$  and number of cycles  $N$

Poznaje li se područje naizmjeničnog naprezanja  $\Delta\sigma = \sigma_{\max} - \sigma_{\min}$ , može se na temelju duljine pukotine  $a$  u promatranom trenutku kada nastupa širenje pukotine za da izračunati područje promjene koeficijenta intenzivnosti naprezanja  $\Delta K$ , kojem se pripisuje to proširenje, prema osnovnoj jednadžbi:

$$\Delta K = Y \cdot \Delta\sigma \sqrt{\pi a}, \quad (1)$$

gdje je  $Y$  - kalibracijska funkcija. Izračunati  $\Delta K$  i eksperimentalno određena brzina  $da/dN$  omogućuju konstrukciju krivulje  $da/dN = f(\Delta K)$ , kako je to prikazano na slici 3.



Slika 3. Ovisnost brzine širenja pukotine  $da/dN$  o promjeni koeficijenta intenzivnosti naprezanja  $\Delta K$

Figure 3. Dependence of crack extension on stress intensity factor range,  $\Delta K$

Razlikujemo tri faze širenja pukotine (slika 3). Kod mnogih materijala druga faza širenja pukotine (faza stabilne pukotine) može se u log-log dijagrame dovoljno dobro aproksimirati pravcem. Ta se ovisnost može uspješno opisati npr. Parisovom jednadžbom:

$$\frac{da}{dN} = C (\Delta K)^m. \quad (2)$$

Faktori Parisove jednadžbe  $C$  i  $m$  određuju se iz linearne dijelje krivulje na slici 3. Kod proračuna ciklički opterećenih komponenti za područja II i III Forman [19, 20] predlaže jednadžbu oblika:

$$\frac{da}{dN} = \frac{C (\Delta K)^m}{K_C (1-R) - \Delta K}, \quad (3)$$

gdje je  $R = \sigma_{\min} / \sigma_{\max}$  faktor asimetrije opterećenja. Najčešća vrijednost eksponenta  $m$  je 3,7. Za veće područje raznovrsnih čelika s granicom tečenja između 200 i 1400 MPa, eksponent  $m$  uzima se između 2 i 4. Da bi se procijenilo koliko nekom elementu preostaje energije do potpunog loma, treba poznavati veličinu  $K$  na početku procesa širenja pukotine (tj. i-inicijalni). Kada je  $K_{lc} - K_{li} > 0$ , odnosno  $\frac{K_{li}}{K_{lc}} < 1$ , pukotina raste sporo. Taj spori rast proteže se od inicijalne pukotine  $a_i$  do kritične duljine pukotine  $a_c$ . Kako je  $K_{lc}$  ovisan o nazivnom opterećenju  $\sigma_N$  i veličini inicijalne pukotine  $a_i$ , može se za zadano naprezanje i zadani vijek trajanja izračunati numeričkom integracijom Formanove relacije kolika je

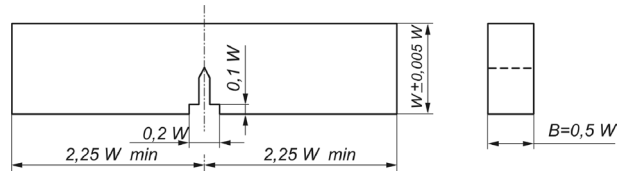
dopuštena inicijalna pukotina ili za zadalu (otkrivenu) inicijalnu pukotinu i zadano opterećenje može se prognozirati vijek trajanja strojnog elementa.

### 3. Eksperimentalni dio

Prilikom eksperimentalne analize ponašanja materijala nastoji se uključiti i one realne faktore koji proizlaze iz nekontinuiranosti i nehomogenosti materijala. Tako se uzimaju u obzir i male pukotine u materijalu kod ocjene stvarne čvrstoće konstrukcije ili pojedinog strojnog elementa. Broj ciklusa opterećenja za ispitivane uzorke mora biti između  $5 \times 10^6$  i  $1 \times 10^7$  ciklusa, a pritom se ne smije proširiti pukotina. Za predmet istraživanja izabran je čelik DIN 42CrMo4V, koji pripada grupi visokolegiranih Cr-Mo čelika za poboljšanje. Čelik DIN 42CrMo4V koristi se za statički i dinamički opterećene konstrukcijske dijelove, posebno za veće presjeke s visokom čvrstoćom. Iako je čelik DIN 42CrMo4V jedan od najviše korištenih čelika za izradu osovina, vratila itd., njegovo ponašanje u prisutnosti greške tipa pukotine još nije dovoljno istraženo, naročito kada se radi o velikim presjecima (preko 300 mm). Ispitivanje u cilju određivanja brzine rasta zamorne pukotine  $da/dN$  i praga zamora  $\Delta K_{th}$  izvedeno je na standardnim Charpy epruvetama metodom savijanja epruvete u trima točkama na rezonantnom visokofrekventnom pulzatoru cracktronic, slika 4.

Na mehanički pripremljene epruvete zalipljene su mjerne trake rumel rmf a-5 mjerne duljine 5 mm, pomoću kojih je praćen rast pukotine, slika 4.a, uređajem za fractomat, temeljen na promjeni električnog potencijala

trake. Traka je tanka otporna mjerena folija zalipljena na epruvetu na isti način kao i klasične mjerne trake za mjerjenje deformacije. Izgled pripremljene epruvete za ispitivanje prikazan je na slici 5. Problematika dinamike mjerjenja opisana je detaljnije u radu [21].



Slika 5. SENB epruveta

Figure 5. SENB specimen

Kako zamorna pukotina raste ispod mjerne folije, ona se cijepa prateći vrh zamorne pukotine, čime se električni otpor folije mijenja s promjenom duljine pukotine. Broj ciklusa se automatski registira za svako povećanje inkrementa pukotine  $\Delta a = 0,05$  mm. Ima nekoliko metoda kalibracije mjerne krivulje napon-porast pukotine [22]. Uglavnom se mogu podijeliti na eksperimentalne i numeričke. Eksperimentalna kalibracija provodi se tako da se nekom drugom metodom mjeri veličinu pukotine uz istovremeno mjerjenje pada potencijala. To je najčešće mjerjenje pukotine optičkim metodama na površini za vrijeme testa. Numerička kalibracija se temelji na rješenju Laplaceove jednadžbe za zadalu geometriju i rubne uvjete [23].

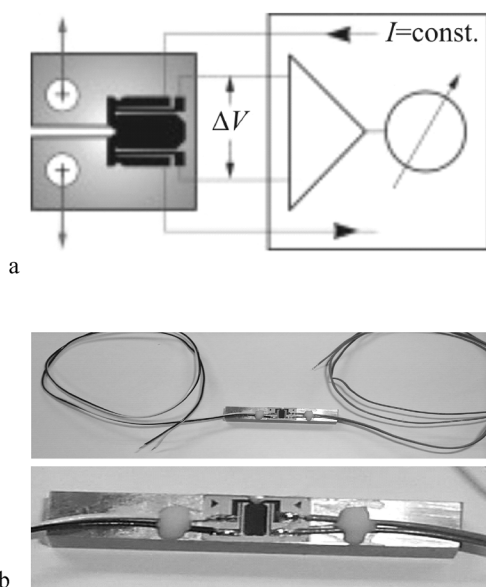
$$\nabla^2 V = 0, \quad (4)$$



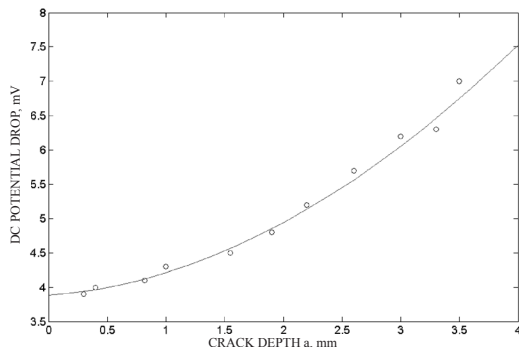
1. Davač impulsa / Pulse generator
2. Mjerač frekvencije / Frequency measurement
3. Računalo / Computer

Slika 4. Visokofrekventni pulzator cracktronic a) mjerne folije, b) epruveta za ispitivanje

Figure 4. High-frequency pulsator cracktronic: a) measuring foils, b) epruveta za ispitivanje,



gdje je  $V$  električki potencijal. Na slici 6 prikazana je kalibracijska krivulja ovisnosti promjene napona o veličini pukotine za materijal 42CrMo4V.



Slika 6. DCPD kalibracijska krivulja za materijal DIN 42CrMo4V

Figure 6. Direct current potential drop (DCPD) calibration curve for material DIN 42CrMo4V

Dva su bitna ograničenja u standardu ASTM E647: brzina rasta treba biti veća od  $10^{-8}$  m/ciklus da bi se izbjeglo područje praga zamora,  $\Delta K_{th}$ , a opterećenje treba biti konstantne amplitudne [24]. U našem slučaju  $R = 0,1$ . Analiza zamornog loma može se podijeliti u dvije faze i to: na period stvaranja (iniciranja) u kojem zamorna pukotina nastaje, te period u kojem se nastala pukotina širi do kritične veličine pri kojoj dolazi do nestabilnog loma. Time se ukupan broj ciklusa,  $N_u$ , kod kojega dolazi do loma, dijeli na broj ciklusa potrebnih da zamorna pukotina nastane,  $N_i$ , i broj ciklusa da ona poraste do kritične veličine,  $N_p$ .

$$N_u = N_i + N_p. \quad (5)$$

Iako Parisova jednadžba rasta pukotine ne vrijedi u čitavom području između malih brzina u blizini praga zamora  $\Delta K_{th}$  na slici 3. i velikih brzina  $K_{Ic}$ , linearni srednji dio krivulje pokriven Parisovim izrazom s praktične točke gledišta pokazao se važnim zato što istovremeno dopušta da se napravi razlika između inicijalnosti i rasta zamorne pukotine.

Određivanje ovisnosti brzine rasta zamorne pukotine po ciklusu  $da/dN$  i područja promjena koeficijenta intenzivnosti naprezanja  $\Delta K$  svodi se na određivanje faktora  $C$  i eksponenta  $m$  u Parisovoj jednadžbi. Brzini rasta zamorne pukotine treba za trenutnu duljinu pukotine  $a$ , pridružiti područje promjene koeficijenta intenzivnosti naprezanja,  $\Delta K$ , koji ovisi od geometrije epruvete, duljine pukotine i od područja promjene sile,  $\Delta F = F_g - F_d$  ( $F_g$  - maksimalni iznos opterećenja, dok je  $F_d$  - minimalni iznos opterećenja). Za određivanje područja promjene koeficijenta intenzivnosti naprezanja koristi se jednadžba [20] :

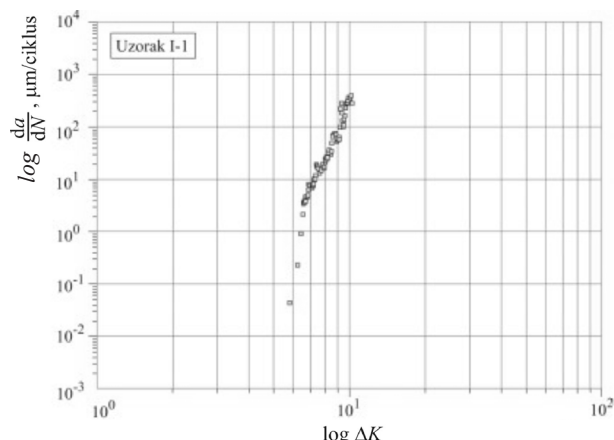
$$\Delta K = \frac{\Delta F \cdot L}{B \sqrt{W^3}} f(a/W), \quad (6)$$

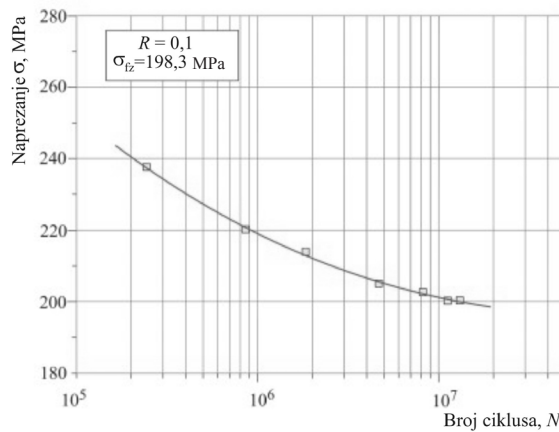
gde je:

$$f(a/W) = \frac{3 \sqrt{\frac{a}{W}}}{2 \left(1 + 2 \frac{a}{W}\right) \left(1 - \frac{a}{W}\right)^{3/2}} \cdot \left[ 1,99 - \frac{a}{W} \left(1 - \frac{a}{W}\right) \left(2,15 - 3,93 \frac{a}{W} + 2,7 \left(\frac{a}{W}\right)^2\right) \right]. \quad (7)$$

## 4. Rezultati

Na osnovu tijeka ispitivanja izračunate su i nacrtane ovisnosti  $\log da/dN - \log \Delta K$ . Da bi se odredili nepoznati parametri u Parisovoj i Formanova jednadžbi, one su prikazane kao linearne u log-log skali kako bi se mogla koristiti linearna regresija. Koristeći podatke za  $\Delta K$  i  $da/dN$  sistem linearnih jednadžbi formiran je i riješen Gaussovom metodom eliminacije. Cijela se procedura bazira na minimizaciji zbroja kvadrata pogreške brzine rasta pukotine  $da/dN$ . Kao rezultat su faktori u Parisovoj jednadžbi (2)  $C = 8,64 \times 10^{-10}$  i  $m = 3,224$  [20]. Na slici 7 prikazan je dijagram ovisnosti  $da/dN$  od  $\Delta K$ .



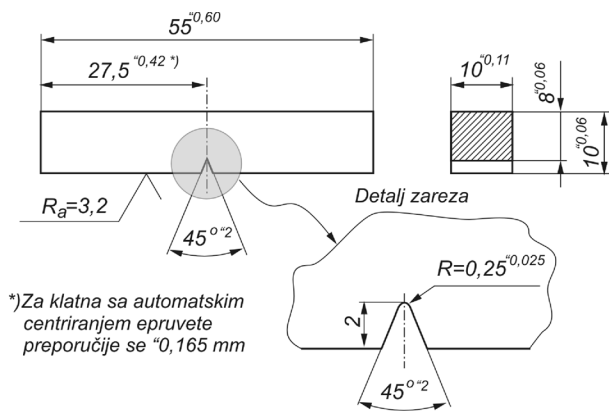


Slika 8.  $\sigma$  -  $N$  dijagram epruveta sa zarezom  
Figure 8.  $\sigma$  -  $N$  curve of notched specimens

Osjetljivost na pukotine  $\Xi$  ispitivanog materijala je određena omjerom vrijednosti ukupne energije udara ( $E_T$  veličine) dobivene na standardnoj ISO-V epruveti i  $E_1$  vrijednosti dobivenoj na ISO-V epruveti na kojoj je izvedena zamorna pukotina:

$$\Xi = \frac{E_T}{E_1}. \quad (8)$$

Za određivanje osjetljivosti na pukotine  $\Xi$  korištene su epruvete čijim ispitivanjem je dobivena Wöhler-ova krivulja epruveta sa zarezom. Duljina zamorne pukotine kretala se od 1 do 5 mm, mjereći od korijena zareza na ISO-V epruveti (slika 9).



Slika 9. ISO-V epruveta  
Figure 9. ISO- V specimen

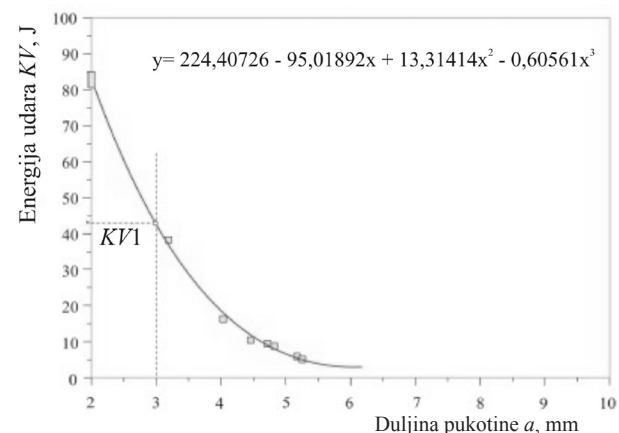
Osjetljivost na pukotinu je funkcija niza parametara

$$\Xi = \Xi(\phi, a / W, \lambda), \quad (9)$$

gdje je  $\phi$  kut zareza, a  $\lambda$  eksponent koji definira singularnost polja naprezanja u vrhu zareza. Matematički osjetljivost se može iskazati jednadžbom oblika [25]

$$\Xi = \frac{\partial E_T}{\partial \{p\}}, \quad (10)$$

gdje  $\{p\}^T = \{\phi, a / W, \lambda\}$  predstavlja vektor parametara. Nakon loma epruvete izmjerena je na pet mesta duljina zamorne pukotine  $a$ , i srednja vrijednost zajedno s pripadajućom  $E_T$ -vrijednošću ukupne energije. Te veličine daju uređeni par u  $E_T$  -  $a$  dijagramu. Početak dijagrama nalazi se na dubini zareza od 2 mm, standardnoj dubini zareza ISO-V epruvete, slika 10.



Slika 10. Ovisnost energije udara  $E_T$  od duljine pukotine  
Figure 10. Dependence of impact energy  $E_T$  on crack length

Na slici 10. ucrtana  $E_T$  -  $a$  krivulja definirana je polinomom trećeg stupnja, a dobivena je metodom najmanjih kvadrata. Dobiveni podaci o osjetljivosti prema pukotinama su od koristi za ocjenu opasnosti od grešaka tipa pukotine i njihovih značajki kod ovakvog čelika u eksploataciji.

## 5. Diskusija i zaključci

Nakon provjere da materijal konstrukcije ne sadrži pukotine većih dimenzija od kritičnih, povećava se sigurnost konstrukcije od loma. Dimenzioniranje se tada može provesti na temelju poznatog dopuštenog naprezanja. Na formiranje pukotine na slobodnoj površini dominantno je stanje površine. Poznavanje rasta pukotine posebno je važno pri planiranju kontrolnih pregleda i remonta konstrukcije. Koristeći zakonitosti djelovanja promjenjivog opterećenja i rasta pukotine i poznavajući pojave koje se dešavaju na vršku pukotine, kao što je napr. koncentracija naprezanja, ovaj pristup daje opće kvalitativno i kvantitativno rješenje za niz parametara u praksi. Dobiveni eksperimentalni podaci su osnova za analizu stanja naprezanja i deformacije u blizini vrška pukotine. Ispitivanje epruvete s pukotinom pokazuje lokalno ponašanje materijala oko vrška pukotine i polazi od pretpostavke da je materijal epruvete homogen, što

znači da se rezultati lokalnog ponašanja mogu neposredno prenijeti na odgovarajuću konstrukciju. Određivanje parametara rasta zamorne pukotine podrazumijeva ispitivanje brzine rasta te pukotine i faktora  $C$  i  $m$  u Parisovoj jednadžbi. Kombinirano ispitivanje dinamičke čvrstoće epruveta sa zarezom i otpornosti na pukotine udarnim ispitivanjem izvršeno je na Charpy epruvetama, da bi se na kraju izradio  $\sigma$ - $N$  dijagram, slika 8. Dinamička čvrstoća određena je metodom savijanja konzole, a definirana je kao naprezanje pri broj promjena opterećenja  $N = 10^7$ . Dinamička čvrstoća  $\sigma_D$  definirana je dakle kao zbroj srednjeg naprezanja  $\sigma_m$  i amplitude naprezanja  $\sigma_a$  i iznosi 198,3 MPa, slika 10. Udarno ispitivanje epruveta s pukotinom podrazumijeva ispitivanje osjetljivosti na pukotine kojom je dobivena Wöhlerova krivulja. Nakon loma epruvete izmjerena je duljina pukotine na pet mesta, a srednja veličina s pripadajućom ukupnom energijom udara  $E_T$  prikazana je na  $E_T$ -a dijagramu, slika 10. Početak dijagraama je na dubini zareza od 2 mm, gdje je ukupna energija 83,99 J, a za duljinu pukotine 3 mm ukupna energija je 42,82 J. Pri duljini pukotine od 6 mm ukupna energija iznosi 2,79 J.

Stvarne pukotine koje se pojavljuju u realnim konstrukcijama su vrlo oštiri zarezi kod kojih je poljumjer zaobljenja veličine dimenzija kristalne rešetke. Takvu geometriju pukotine teško je izraditi mehaničkom obradom. U radu je korištena epruveta s jednostavnom geometrijom koja je izrađena mehaničkom obradom. Izabrani materijal je DIN 42CrMo4V. Na temelju teorijske analize i eksperimentalnih rezultata provedenih u ovom radu može se zaključiti sljedeće:

1. Ispitivanje epruvete sa zarezom, kao i s iniciranom pukotinom, rađeno je u cilju određivanja udarnih svojstava i parametara mehanike loma. Poznavanje parametara koji određuju brzinu širenja pukotine u predkritičnoj fazi od velike je važnosti za procjenu vijeka trajanja ciklički opterećene konstrukcije, odnosno za utvrđivanje intervala kontrolnih pregleda.
2. Rezultati udarnih ispitivanja epruveta s pukotinom pokazuju standardna odstupanja. Dobiveni podaci o osjetljivosti prema pukotinama su od koristi za ocjenu opasnosti od grešaka tipa pukotine i njihovih značajki kod čelika DIN 42CrMo4V u eksploraciji.
3. Eksperimentalne metode se u novije vrijeme sve više koriste mogućnostima koje pružaju računala, kako za prikupljanje podataka mjerjenja tako i za njihovu obradu.

## LITERATURA

- [1] CUI, W.: *A state-of-art review on fatigue life prediction methods for metal structures*, Marine Science and Technology, 7 (2002), 43-56.
- [2] AHMADI, A.; ZENNER, H.: *Simulation of microcrack growth for different load sequences and comparison with experimental results*, Int. J. of Fatigue, 27, (2005), 853-861.
- [3] KANG, K.J.; BEOM, H.G.: *Plastic zone size near the crack tip in a constrained ductile layer under mixed mode loading*, Engineering Fracture Mechanics, 66, (2000), 257-268.
- [4] IRWIN, G. R.; WELLS, A.A.: *Continuum-Mechanics View of Crack Propagation*, Metallurgical Review, 10, (1965), 223-270.
- [5] BUEHLER, M. J.; ABRAHAM, F. F.; GAO, H.: *Hyperelasticity governs dynamic fracture at a critical length scale*, Nature, 426, (2003), 141-146.
- [6] TOSAL, L.; RODRIGUEZ, C.; BELZUNCE, F.J.; BETEGON, C.: *Comparison of the static and dynamic fracture behaviour of an AE-460 structural steel*, Engineering Fracture Mechanics, 66, (2000), 537-549.
- [7] BESSON, J.; DEVILLERS-GUERVILLE, L.; PINEAU, A.: *Modelling of scatter and size effect in ductile fracture: application to thermal embrittlement of duplex stainless steels*, Engineering Fracture Mechanics, 67, (2000), 169-190.
- [8] STRAUB, D.: *Generic approaches to risk based inspection planning for steel structures*, ETH PhD theses, Zurich, 2004.
- [9] BECKER, T. L.; CANNON, R. M.; RITCHIE, R.O.: *Statistical fracture modelling: crack path and fracture criteria with application to homogeneous and functionally graded materials*, Engineering Fracture Mechanics, 69, (2002), 1521-1555.
- [10] SIH, G. C.; JONES, R.: *Crack size and speed interaction characteristics at micro-, meso- and macro-scale*, Theoretical and Appl. Fracture Mechanics, 39, (2003), 127-136.
- [11] WILLIAMS, M. L.: *On the Stress Distribution at the Base of a Stationary Crack*, J. of Applied Mechanics, March (1957), 101-106.
- [12] GRIFFITH, A. A.: *The Phenomena of Rupture and Flow in Solids*, Philosophical Transactions of Royal Society of London, 221, (1920), Series A, 163-198.
- [13] GREEN, A. E.; SNEDDON, I. N.: *The Distribution of Stress in the Neighborhood of a Flat Elliptical Crack in an Elastic Solid*, Proc of Cambridge Phil Soc, 46, (1950), 159-164.
- [14] ERIJAN, S.: *Stress Intensity Factors for Edge Cracks in Round Bars*, Engineering Fracture Mechanics, 37, (1990), 805-812.
- [15] DONOSO, J. R.; LABBE, F.; ARGOMEDO, H.: *A calibration function for notched cylindrical tension specimens*, based on the common format equation: numerical and experimental data analysis, Engineering Fracture Mechanics, 54, (1996), 617-628.
- [16] SMITH, R. A.: *A Simplified Method of Predicting the Rates of Growth of Cracks Initiated at Notches*, Fracture Mechanics in Engineering Practice (editor, P. Stanley), Proc. of Annual Conf. of Stress Analysis Group, Uni. of Sheffield, England, Applied Science Publishers, Ltd. London, 1977.

- [17] SMITH, D.G.; SMITH, C.W.: *Photoelastic Determination of Mixed Mode Stress Intensity Factors*, Engineering Fracture Mechanics, 4, (1972), 357-366.
- [18] BROWN, M. W.; MILLER, K. J.: *Biaxial and Multiaxial Fatigue*, Mech. Eng. Publication Limited, London, 1989.
- [19] FORMAN, R. G.; KEARNEY, V.E.; ENGLE, R.M.: *Numerical analysis of crack propagation in a cyclically loaded structure*, ASME Trans., J. Basic Engineering, 89, (1967), 459-464.
- [20] RICHEY III, E.: *Empirical modeling of environment-enhanced fatigue crack propagation in structural alloys for component life prediction*, NASA-CR-198231, Hampton, Virginia, 1995.
- [21] RUBIO, L.; ERNANDEZ\_SAZ, J.; NAVARRO, C.: *Determination of dynamic fracture - initiation toughness using three - point bending tests in a modified Hopkinson pressure bar*, Experimental Mechanics, 43, (2003), 379-386.
- [22] MERAH, N.: *DC Potential drop calibration in creep-fatigue loading conditions*, J.of Testing and Evaluation, 28, (2000) 301-306.
- [23] HICKS, M. A.; PICKARD, A. C: *A comparison of theoretical and experimental methods of calibrating the electrical drop technique for crack length determination*, Int. Journal of Fracture, 20, (1982), 91-101.
- [24] ZRILIC, M.; BURZIC, Z. CVIJOVIC, Z.: *Fracture toughness and crack resistance of steam pipeline steel in initial and used states*, Strength of Materials, 36, (2004), 47-58.
- [25] CARPINTERI,A.; CORNETTI, P.; UGNO, N.; SAPORA, A.; TAYLOR, D.: *A finite fracture mechanics approach to structures with sharp V-notches*, Engineering Fracture Mechanics, 75, (2008), 1736-1752.